

- дисперсия координаты частицы. Первое слагаемое в правой части (15) обусловлено неопределенностью начального положения частицы, задаваемого волновым пакетом (12), второе - квантовым расплыванием волнового пакета, а третье - случайным характером действующей на частицу силы  $f(t)$ . Согласно (15), при  $t < t_c = 3\hbar^2/4\Delta a^2$  превалирует квантовый механизм расплывания пакета, а при  $t > t_c$  - классический.

Найдем теперь среднюю кинетическую энергию частицы, которая определяется как

$$\langle \bar{E} \rangle = -\frac{\hbar^2}{2m} \int_{-\infty}^{\infty} \psi^*(x,t) \frac{\partial^2}{\partial x^2} \psi(x,t) dx \quad (16)$$

(звездочка обозначает комплексное сопряжение). Воспользовавшись выражениями для  $\psi_1(y,t)$  и  $\psi_2(y,t)$ , а также следующими из (11) и (9) соотношениями  $\overline{\xi(t)} = 0$  и  $\overline{\xi^2(t)} = 2\Delta t/m^2$ , на основании (16) получаем

$$\langle \bar{E} \rangle = \frac{\hbar^2}{4ma^2} + \frac{\hbar^2 k^2}{2m} + \frac{\Delta}{m} t. \quad (17)$$

Следовательно, средняя кинетическая энергия квантовой частицы, движущейся в поле случайной силы, неограниченно возрастает со временем, т.е. происходит ее стохастическое ускорение. Отметим, что при учете диссипации энергии частицы, например, за счет дипольного излучения, средняя энергия частицы при  $t \rightarrow \infty$  будет иметь конечное значение, определяемое балансом между поглощенной в случайном поле энергией и излученной.

## SUMMARY

*The exact solution of the time-dependent Schrödinger equation for the potential corresponding to an uniform random force, is found. The peculiarities of the stochastic acceleration of a quantum particle are studied.*

## СПИСОК ЛИТЕРАТУРЫ

1. Fermi E. //Phys. Rev. - 1949, v.75, p.1169.
2. Лихтенберг А., Либман М. Регулярная и стохастическая динамика. - М.: Мир, 1984.- 528 с.
3. Заславский Г.М. Стохастичность динамических систем. - М.: Наука, 1984.- 272 с.
4. Базь А.И., Зельдович Я.Б., Переломов А.М. Рассеяние, реакции и распады в нерелятивистской квантовой механике. - М.: Наука, 1971.- 544 с.
5. Делоне Н.Б., Крайнов В.П. Атом в сильном световом поле. - М.: Атомиздат, 1978.- 287 с.
6. Флюгге З. Задачи по квантовой механике. Т.1. - М.: Мир, 1974.- 344 с.

*Поступила в редколлегию 31 августа 1998 г.*

УДК 539.3:534.1

## ИССЛЕДОВАНИЕ КОЛЕБАНИЙ ПЬЕЗОКЕРАМИЧЕСКОГО ЦИЛИНДРА С ТУННЕЛЬНЫМ ЖЕСТКИМ ВКЛЮЧЕНИЕМ

*М.Л. Фильштинский, вед. науч. сотр.*

Рассматривается пьезокерамический цилиндр произвольного поперечного сечения, содержащий туннельное включение в виде тонкой жесткой вставки. Колебания цилиндра осуществляются вследствие

иллюстрируется на рис. 3 и 4 соответственно. Видно, что в отличие от рис. 2, фактически соответствующего однородному цилиндру, здесь появляются два дополнительных узких пика. Резонансные частоты для случая *B* смещаются вправо по сравнению с вариантом *A*, причем это смещение уменьшается с увеличением номера резонансной частоты. Важно отметить, что резонансные пики на рис. 4 шире, чем на рис. 3, что свидетельствует о более эффективном электромеханическом преобразовании энергии при контакте поверхности цилиндра с вакуумом (воздухом), чем в случае электродированной границы [9].

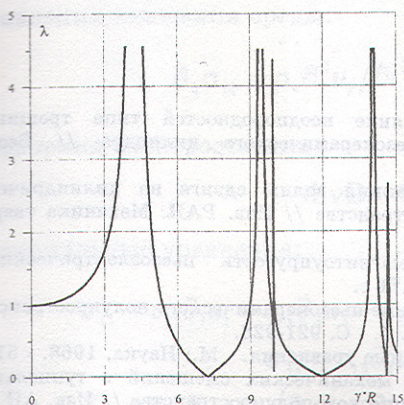


Рисунок 4

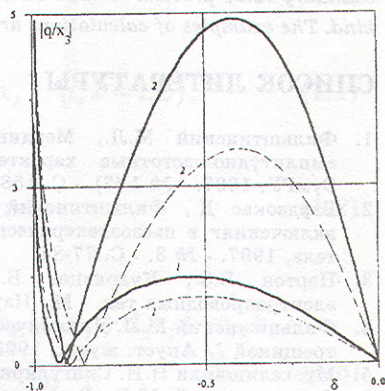


Рисунок 5

На рис. 5 представлено изменение абсолютных значений интенсивности контактных усилий на параболической вставке. Кривые 1 и 2 построены для значений параметров  $\gamma^* R = 8$ ,  $p_1/R = 0.4$ ,  $\vartheta = 0$ ,  $p_2/R = 0.1$  и  $0.4$ . Сплошные и штриховые линии построены для вариантов *A* и *B* соответственно. В окрестности концов вставки ( $\delta = \pm 1$ ), как следует из системы (11), функция  $q(\zeta)$  обладает особенностью типа квадратного корня.

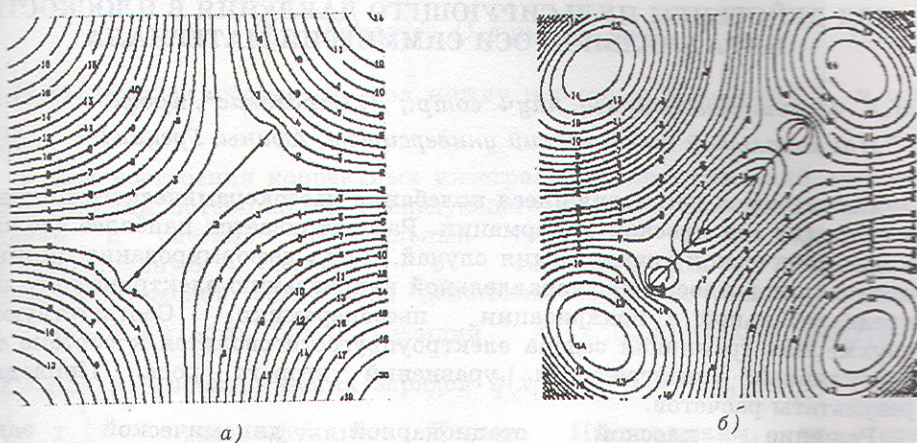


Рисунок 6

Линии уровня абсолютных значений перемещения и электрического потенциала в области электродированного цилиндра с прямой вставкой при  $\gamma^* R = 4$ ,  $p_1/R = 0.4$  и  $\vartheta = \pi/4$  изображены на рис. 6а и 6б

заданных на его поверхности усилий сдвига. Антиплоские краевые задачи электроупругости (при соответствующем задании электрических условий на поверхности цилиндра) сводятся к системам трех сингулярных интегральных уравнений второго рода. Приводятся результаты, иллюстрирующие поведение электроупругих полей как в области цилиндра, так и на его границе.

Колебания пьезокерамического цилиндра с туннельными трещинами продольного сдвига рассматривались в [1]. Антиплоская задача электроупругости о дифракции волны сдвига на цилиндрических включениях в полупространстве исследовалась в [2].

## 1 ПОСТАНОВКА ЗАДАЧИ

Рассмотрим отнесенный к декартовой системе координат  $x_1, x_2, x_3$  бесконечно длинный вдоль оси  $x_3$  пьезокерамический цилиндр, содержащий туннельную вдоль образующей жесткую криволинейную вставку  $L$ . Возбуждение цилиндра происходит под действием заданных на его поверхности гармонически изменяющихся во времени, не зависящих от координаты  $x_3$  усилий сдвига  $X_{3n} = \text{Re}(X_3 e^{-i\omega t})$ . Предполагая, что вектор предварительной поляризации пьезокерамики направлен вдоль оси  $x_3$ , рассмотрим два варианта электрических граничных условий: поверхность цилиндра электродирована и заземлена (вариант А); поверхность цилиндра не электродирована и сопряжена с вакуумом (вариант В).

В данных условиях в цилиндре с включением реализуется состояние антиплоской деформации. В квазистатическом приближении исходные соотношения сводятся к системе двух дифференциальных уравнений относительно перемещения  $u_3 = \text{Re}(U_3 e^{-i\omega t})$  и электрического потенциала  $\varphi = \text{Re}(\Phi e^{-i\omega t})$  [3]:

$$\begin{aligned} c_{44} \nabla^2 u_3 + e_{15} \nabla^2 \varphi &= \rho \frac{\partial^2 u_3}{\partial t^2}, \\ e_{15} \nabla^2 u_3 - \varepsilon_{11} \nabla^2 \varphi &= 0, \end{aligned} \quad (1)$$

где  $c_{44}^E, \varepsilon_{11}, e_{15}$  и  $\rho$  - соответственно модуль сдвига, диэлектрическая проницаемость, пьезоэлектрическая постоянная и плотность материала.

Из (1) следуют соотношения:

$$\nabla^2 U_3 - c^{-2} \frac{\partial^2 U_3}{\partial t^2} = 0, \quad \nabla^2 F = 0, \quad (2)$$

$$\varphi = \frac{e_{15}}{\varepsilon_{11}} u_3 + F, \quad c = \sqrt{\frac{c_{44}^E (1 + k_{15}^2)}{\rho}}, \quad k_{15} = \frac{e_{15}}{\sqrt{c_{44}^E \varepsilon_{11}}},$$

причем механические и электрические величины можно выразить через функции  $U_3$  и  $F$  по формулам:

$$\tau_{13} - i\tau_{23} = 2 \frac{\partial}{\partial z} [c_{44}^E (1 + k_{15}^2) u_3 + e_{15} F], \quad (3)$$

$$D_1 - iD_2 = -2\varepsilon_{11} \frac{\partial F}{\partial z}, \quad E_1 - iE_2 = -2 \frac{\partial}{\partial z} (F + \frac{e_{15}}{\varepsilon_{11}} u_3), \quad z = x_1 + ix_2.$$

Здесь  $\tau_{ij}$  - напряжения продольного сдвига;  $D_j$  и  $E_j$  - соответственно компоненты векторов индукции и напряженности электрического поля.

Дифференциальные уравнения (2), записанные относительно амплитудных значений искомых функций, приобретают форму уравнений Гельмгольца и Лапласа:

$$\nabla^2 U_3 + \gamma^2 U_3 = 0, \nabla^2 F^* = 0, \quad (4)$$

$$\Phi = \frac{e_{15}}{\varepsilon_{11}} U_3 + F^*, \quad \gamma = \frac{\omega}{c},$$

где  $\gamma$  - волновое число;  $c$  - скорость распространения волны сдвига в пьезокерамической среде.

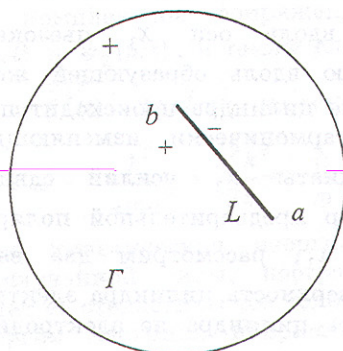


Рисунок 1

Считая, что вставка закреплена, представим механические и электрические граничные условия на контуре  $L$  следующим образом:

$$U_3^\pm = 0, \quad (5)$$

$$E_s^+ = E_s^-, \quad D_n^+ = D_n^-. \quad (6)$$

Здесь  $E_s$  и  $D_n$  - соответственно касательная компонента вектора электрической напряженности и нормальная компонента вектора электрической индукции, знаки "плюс" и "минус" относятся к левому и правому берегам включения  $L$  при движении от его начала  $a$  к концу  $b$  (рис. 1).

Для получения эффективной с точки зрения численной реализации системы интегральных уравнений граничное условие (5) целесообразно продифференцировать по дуговой координате  $s$ :

$$\left( \frac{\partial U_3}{\partial s} \right)^\pm = 0. \quad (5')$$

Математическая запись краевых условий на контуре цилиндра  $\Gamma$  для рассматриваемых вариантов имеет вид:

$$\frac{\partial}{\partial n} \{ \varepsilon_{44} (1 + k_{15}^2) U_3 + e_{15} F^* \} = X_3, \quad (7)$$

$$\Phi = 0, \quad (8)$$

$$D_n = -\varepsilon_{11} \frac{\partial F^*}{\partial n} = 0. \quad (9)$$

Граничные равенства (8) и (9) отвечают вариантам А и В соответственно. Ниже вместо (8) будем использовать модернизированное условие

$$\frac{\partial}{\partial s} \left( F^* + \frac{e_{15}}{\varepsilon_{11}} U_3 \right) = 0. \quad (8')$$

Таким образом, задача заключается в определении функций  $U_3$  и  $F^*$  из дифференциальных уравнений (4) и граничных условий (5'), (7), а также (8') или (9).

## 2 РАЗРЕШАЮЩИЕ СИСТЕМЫ СИНГУЛЯРНЫХ ИНТЕГРАЛЬНЫХ УРАВНЕНИЙ ГРАНИЧНЫХ ЗАДАЧ ЭЛЕКТРОУПРУГОСТИ

При построении интегральных представлений функций  $U_3$  и  $F^*$  будем опираться на фундаментальное решение системы уравнений (1) в том случае, когда зависимость от времени носит гармонический характер [4]. Имеем

$$U_3(x_1, x_2) = \frac{i}{4c_{44}(1+k_{15}^2)} \left\{ \int_L q(\zeta) H_0^{(1)}(\gamma r) ds + \int_{\Gamma} p(\zeta^*) H_0^{(1)}(\gamma r_1) ds \right\} + \frac{k_{15}^2}{4ie_{15}(1+k_{15}^2)} \int_{\Gamma} f(\zeta^*) H_0^{(1)}(\gamma r_1) ds, \quad (10)$$

$$F^*(x_1, x_2) = -\frac{1}{2\pi\varepsilon_{11}} \int_{\Gamma} f(\zeta^*) \ln r_1 ds,$$

$$r = |\zeta - z|, \quad r_1 = |\zeta^* - z|, \quad \zeta \in L, \quad \zeta^* \in \Gamma.$$

Здесь  $H_\nu^{(1)}(x)$  - функция Ханкеля первого рода порядка  $\nu$ ;  $ds$  - элемент дуги контура, по которому производится интегрирование.

Легко убедиться, что определенные в (10) функции  $U_3$  и  $F^*$  автоматически удовлетворяют электрическим условиям (6) на  $L$  и обеспечивают выполнение равенства  $[U_3] = U_3^+ - U_3^- = 0$  в (5). Неизвестные "плотности"  $q(\zeta)$ ,  $p(\zeta^*)$  и  $f(\zeta^*)$  определяются из комплексной системы трех интегральных уравнений, которая получается в результате подстановки предельных значений соответствующих производных функций (10) при  $z \rightarrow \zeta \in L$  и  $z \rightarrow \zeta^* \in \Gamma$  в граничные условия (5'), (7), а также (8') или (9). Данную систему представим в виде:

$$\begin{aligned} \int_L q(\zeta) G_1(\zeta, \zeta_0) ds + \int_{\Gamma} p(\zeta^*) G_2(\zeta^*, \zeta_0) ds + \int_{\Gamma} f(\zeta^*) G_3(\zeta^*, \zeta_0) ds &= 0, \\ \frac{1}{2} p(\zeta_0^*) + \int_L q(\zeta) G_4(\zeta, \zeta_0^*) ds + \int_{\Gamma} p(\zeta^*) G_5(\zeta^*, \zeta_0^*) ds + \int_{\Gamma} f(\zeta^*) G_6(\zeta^*, \zeta_0^*) ds &= X_3(\zeta_0^*), \\ \lambda f(\zeta_0^*) + \int_L q(\zeta) G_7(\zeta, \zeta_0^*) ds + \int_{\Gamma} p(\zeta^*) G_8(\zeta^*, \zeta_0^*) ds + \int_{\Gamma} f(\zeta^*) G_9(\zeta^*, \zeta_0^*) ds &= 0. \end{aligned} \quad (11)$$

$$G_1(\zeta, \zeta_0) = \frac{1}{c_{44}} \left\{ \gamma H_1(\gamma r_0) \sin(\psi_0 - \alpha_0) - \frac{2i}{\pi} \operatorname{Im} \frac{e^{i\psi_0}}{\zeta - \zeta_0} \right\},$$

$$G_2(\zeta^*, \zeta_0) = \frac{\gamma}{c_{44}} H_1^{(1)}(\gamma r_{10}) \sin(\psi_0 - \alpha_{10}),$$

$$G_3(\zeta^*, \zeta_0) = -\frac{k_{15}^2 \gamma}{e_{15}} H_1^{(1)}(\gamma r_{10}) \sin(\psi_0 - \alpha_{10}),$$

$$G_4(\zeta, \zeta_0^*) = \frac{i\gamma}{4} H_1^{(1)}(\gamma r_{20}) \cos(\psi_{10} - \alpha_{20}),$$

$$G_5(\zeta^*, \zeta_0^*) = \frac{1}{2\pi} \operatorname{Re} \frac{e^{i\psi_{10}}}{\zeta^* - \zeta_0^*} + \frac{i\gamma}{4} H_1(\gamma r_{30}) \cos(\psi_{10} - \alpha_{30}),$$

$$G_6(\zeta^*, \zeta_0^*) = \frac{c_{44} k_{15}^2}{4ie_{15}} \gamma H_1(\gamma r_{30}) \cos(\psi_{10} - \alpha_{30}), \quad H_1(x) = \frac{2i}{\pi x} + H_1^{(1)}(x),$$

$$r_0 = |\zeta - \zeta_0|, \quad r_{10} = |\zeta^* - \zeta_0|, \quad r_{20} = |\zeta^* - \zeta_0|, \quad r_{30} = |\zeta^* - \zeta_0^*|, \quad \kappa = \frac{k_{15}^2}{1 + k_{15}^2},$$

$$\alpha_0 = \arg(\zeta - \zeta_0), \quad \alpha_{10} = \arg(\zeta^* - \zeta_0), \quad \alpha_{20} = \arg(\zeta - \zeta_0^*), \quad \alpha_{30} = \arg(\zeta^* - \zeta_0^*),$$

$$\psi_0 = \psi(\zeta_0), \quad \psi_{10} = \psi_1(\zeta_0^*), \quad \zeta, \zeta_0 \in L, \quad \zeta^*, \zeta_0^* \in \Gamma.$$

В том случае, когда  $\varphi|_{\Gamma} = 0$  (вариант А), имеем:

$$\lambda = 0, \quad G_7(\zeta, \zeta_0^*) = \frac{\kappa\gamma}{4ie_{15}} H_1^{(1)}(\gamma r_{20}) \sin(\psi_{10} - \alpha_{20}),$$

$$G_8(\zeta^*, \zeta_0^*) = \frac{\kappa}{4ie_{15}} \left\{ \gamma H_1(\gamma r_{30}) \sin(\psi_{10} - \alpha_{30}) - \frac{2i}{\pi} \operatorname{Im} \frac{e^{i\psi_{10}}}{\zeta^* - \zeta_0^*} \right\}, \quad (12)$$

$$G_9(\zeta^*, \zeta_0^*) = -\frac{1}{2\pi\varepsilon_{11}(1+k_{15}^2)} \operatorname{Im} \frac{e^{i\psi_{10}}}{\zeta^* - \zeta_0^*} - \frac{\kappa\gamma}{4i\varepsilon_{11}} H_1(\gamma r_{30}) \sin(\psi_{10} - \alpha_{30}).$$

При удовлетворении краевого условия  $D_n|_{\Gamma} = 0$  (вариант В) в (11) необходимо положить

$$\lambda = \frac{1}{2}, \quad G_7(\zeta, \zeta_0^*) = G_8(\zeta^*, \zeta_0^*) \equiv 0, \quad G_9(\zeta^*, \zeta_0^*) = \frac{1}{2\pi} \operatorname{Re} \frac{e^{i\psi_{10}}}{\zeta^* - \zeta_0^*}. \quad (13)$$

В (11)-(13) через величины  $\psi = \psi(\zeta)$  и  $\psi_1 = \psi_1(\zeta^*)$  обозначены углы между осью  $x_1$  и нормальными к контурам  $L$  и  $\Gamma$  соответственно.

Следует отметить, что решение системы интегральных уравнений (11) существует для любой частоты  $\omega$ , не совпадающей с собственной. Определив функции  $q(\zeta)$ ,  $p(\zeta^*)$  и  $f(\zeta^*)$ , по формулам (3) с учетом интегральных представлений можно вычислить все компоненты электроупругого поля в области и на границе цилиндра. При  $e_{15} = 0$  система (11) будет соответствовать пьезопассивному (изотропному) цилиндру с включением.

### 3 ОПРЕДЕЛЕНИЕ КОНЦЕНТРАЦИИ НАПРЯЖЕНИЙ В ЦИЛИНДРЕ С ВСТАВКОЙ

Вычислим сдвиговое напряжение  $\tau_s = \text{Re}(T_s e^{-i\omega t})$  на внешней границе цилиндра. Привлекая уравнения состояния пьезокерамики [3]:

$$\begin{aligned} \tau_{13} &= c_{44} \partial_1 u_3 - e_{15} E_1, \quad D_1 = e_{15} \partial_1 u_3 + \varepsilon_{11} E_1, \\ \tau_{23} &= c_{44} \partial_2 u_3 - e_{15} E_2, \quad D_2 = e_{15} \partial_2 u_3 + \varepsilon_{11} E_2, \end{aligned} \quad (14)$$

находим

$$T_s(\zeta_0^*) = c_{44} (1 + k_{15}^2) \frac{\partial U_3}{\partial s} + e_{15} \frac{\partial F^*}{\partial s}, \quad \zeta_0^* \in \Gamma. \quad (15)$$

Подставляя в (15) предельные значения производных  $\partial U_3 / \partial s$ ,  $\partial F^* / \partial s$  при  $z \rightarrow \zeta^* \in \Gamma$ , вычисленные с использованием представлений (10), получим выражение для амплитуды сдвигового напряжения  $T_s$ :

$$\begin{aligned} T_s(\zeta_0^*) &= \frac{e_{15}}{\kappa} \left\{ \int_{\Gamma} p(\zeta^*) G_8(\zeta^*, \zeta_0^*) ds + \int_L q(\zeta) G_7(\zeta, \zeta_0^*) ds \right\} - \\ &- \frac{e_{15} \gamma}{4i \varepsilon_{11} \Gamma} \int f(\zeta^*) \sin(\psi_{10} - \alpha_{30}) H_1(\gamma r_{30}) ds. \end{aligned} \quad (16)$$

Фигурирующие в (16) функции  $G_7(\zeta, \zeta_0^*)$ ,  $G_8(\zeta^*, \zeta_0^*)$  определены в (12).

Формула (16) позволяет исследовать концентрацию напряжений в цилиндре в зависимости от частоты возбуждения, расположения и конфигурации включения.

Отметим также обстоятельство, касающееся поведения электроупругих величин в окрестности вставки. Из интегрального представления (10) для амплитуды перемещения вытекает равенство

$$q(\zeta) = c_{44} (1 + k_{15}^2) \left[ \frac{\partial U_3}{\partial n} \right], \quad (17)$$

в котором квадратные скобки обозначают скачок соответствующей величины на  $L$ . В то же время из соотношений (4), (6) и (14) следует, что

$$\begin{aligned} \tau_n &= \text{Re}(T_n e^{-i\omega t}), \\ [T_n] &= c_{44} \left[ \frac{\partial U_3}{\partial n} \right] + e_{15} \left[ \frac{\partial \Phi}{\partial n} \right], \quad \left[ \frac{\partial \Phi}{\partial n} \right] = \frac{e_{15}}{\varepsilon_{11}} \left[ \frac{\partial U_3}{\partial n} \right]. \end{aligned} \quad (18)$$

Из выражений (17), (18) получаем равенство

$$q(\zeta) = [T_n]. \quad (19)$$

Таким образом, на основании (19) функцию  $q(\zeta)$  можно трактовать как интенсивность контактных усилий взаимодействия жесткого включения и цилиндра. Отсюда следует, что для равновесия вставки должно выполняться равенство

$$\int_L q(\zeta) ds = 0. \quad (20)$$

Условие (20) необходимо рассматривать в качестве дополнительного при решении системы сингулярных интегральных уравнений (11) в классе функций, неограниченных на концах  $L$  [5].

В силу (5'), (6) и (14) имеем

$$[D_s^*] = \varepsilon_{11}[E_s^*] = 0, [E_n^*] = -\frac{e_{15}}{\varepsilon_{11}} \left[ \frac{\partial U_3}{\partial n} \right] = -\frac{\kappa}{e_{15}} q(\zeta). \quad (21)$$

На основании (21) можно заключить, что вектор электрической индукции  $D$  непрерывен в области цилиндра, а вектор электрической напряженности  $E$  терпит разрыв на вставке. Если в качестве  $L$  рассматривать контур трещины (математический разрез), то в том случае, когда заданные на ее берегах напряжения самоуравновешивающиеся, вектор  $D$ , наоборот, терпит скачок на  $L$ , а  $E$  – непрерывен [6].

#### 4 РЕЗУЛЬТАТЫ РАСЧЕТОВ

В качестве примера рассмотрим цилиндр кругового поперечного сечения (материал - керамика *PZT-4* [3]), содержащий включение параболического сечения, ориентированное под углом  $\vartheta$  к оси  $Ox_1$ . Параметрические уравнения контура  $L$  имеют вид

$$\operatorname{Re} \zeta = p_1 \delta \cos \vartheta - p_2 \delta^2 \sin \vartheta, \operatorname{Im} \zeta = p_1 \delta \sin \vartheta + p_2 \delta^2 \cos \vartheta \quad (-1 \leq \delta \leq 1). \quad (22)$$

Решение системы (11) совместно с дополнительным условием (20) при учете (22) проводилось численно методом квадратур [7,8].

Пусть включение ориентировано вдоль оси  $x_1$  ( $\vartheta = 0$ ), и его центр находится на оси цилиндра, граница которого электропроводна и заземлена. На поверхности цилиндра действуют усилия, изменяющиеся согласно закону  $X_3 = Z \sin 2\beta$  ( $\beta$  - полярный угол). Расчет показывает, что в этом случае  $q(\zeta) \equiv 0$ , и, таким образом, наличие вставки не вносит возмущений в электроупругое состояние цилиндра. На рис. 2 построена амплитудно-частотная характеристика величины  $\lambda = |T_s / Z|$  в точке контура  $\beta = \pi$  в зависимости от нормализованного волнового числа  $\gamma^* R = \gamma R \sqrt{1 + k_{15}^2}$  ( $R$  - радиус цилиндра).

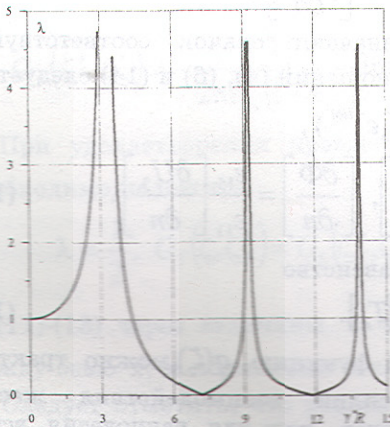


Рисунок 2

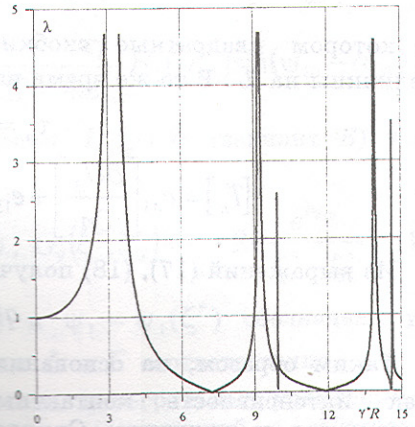


Рисунок 3

Если, например, прямолинейная вставка ориентирована под углом  $\vartheta = \pi/4$  к оси  $Ox_1$ , то ее влияние при вышеуказанной нагрузке уже проявляется. Изменение  $\lambda = \lambda(\gamma^* R)$  в точке  $\beta = \pi$  в окрестности первых трех собственных частот колебаний для вариантов А и Б при  $p_1 / R = 0.2$



соответственно (длина стороны квадрата составляет 0.7 диаметра круга).

Из результатов расчетов следует, что влияние электрических граничных условий на поверхности цилиндра на поведение механических величин в динамике может быть существенным.

## SUMMARY

*Antiplane dynamic problem of the electroelasticity for the cylinder with tunnel rigid inclusion, which is exposed to the harmonic in time excitation, is considered. The initial boundary-value problem is reduced to the system of singular integral equations of the second kind. The examples of calculations are presented.*

## СПИСОК ЛИТЕРАТУРЫ

1. Фильштинский М.Л., Мордик И.Н. Влияние неоднородностей типа трещин на амплитудно-частотные характеристики пьезокерамического цилиндра // Вестник СумГУ, 1997. - № 1 (7). - С. 158-170.
2. Бардзокас Д., Фильштинский М.Л. Дифракция волны сдвига на цилиндрических включениях в пьезоэлектрическом полупространстве // Изв. РАН. Механика твердого тела, 1997. - № 3. - С. 77-84.
3. Партон В.З., Кудрявцев Б.А. Электромагнитоупругость пьезоэлектрических и электропроводных тел. - М.: Наука, 1988. - 471 с.
4. Фильштинский М.Л. Динамическое нагружение пьезокерамического полупространства с трещиной // Акуст. журн., 1993. Т. 39. Вып. 5. - С. 921-928.
5. Мухелишвили Н.И. Сингулярные интегральные уравнения. - М.: Наука, 1968. - 511 с.
6. Фильштинский М.Л. Взаимодействие волн механических смещений с туннельными трещинами продольного сдвига в пьезокерамическом полупространстве // Изв. АН Арм. ССР. Механика, 1988. - Т. 41. - № 5. - С. 27-33.
7. Панасюк В.В., Саврук М.П., Назарчук З.Т. Метод сингулярных интегральных уравнений в двумерных задачах дифракции. - К.: Наук. думка, 1984. - 344 с.
8. *Erdogan F.E., Gupta G.D., Cook T.S.* The numerical solution of singular integral equations // *Mechanics of Fract.* Leyden: Noordhoff Intern. Publ., 1973. V.1. - P. 368-425.
9. Гринченко В.Т., Улитко А.Ф., Шульга Н.А. Электроупругость. - К.: Наук. думка, 1989. - 280 с. (Механика связанных полей в элементах конструкций. - В 5 т. Т.5).

Поступила в редколлегию 11 сентября 1998 г.

УДК 539.3:534.1

## КОЛЕБАНИЯ ПЬЕЗОКЕРАМИЧЕСКОГО ЦИЛИНДРА ПОД ДЕЙСТВИЕМ ПУЛЬСИРУЮЩЕГО ДАВЛЕНИЯ В ПЛОСКОСТИ, ПАРАЛЛЕЛЬНОЙ ОСИ СИММЕТРИИ МАТЕРИАЛА

М.Л. Фильштинский, *вед. науч. сотр.*; Д. Бардзокас\*, *проф.*

(\* *Национальный технический университет, Афины, Греция*)

Исследуются установившиеся колебания пьезокерамического цилиндра в условиях его плоской деформации. Рассматривается наиболее сложный с математической точки зрения случай, когда деформирование цилиндра происходит в плоскости, параллельной направлению электрического поля предварительной поляризации пьезокерамики. Соответствующая двумерная граничная задача электроупругости сводится к системе трех сингулярных интегральных уравнений второго рода. Приводятся результаты расчетов.

Решение плоской стационарной динамической задачи электроупругости о дифракции акустоэлектрических волн на туннельных полостях в пьезокерамической среде содержится в [1].

1 Рассмотрим отнесенный к декартовым прямолинейным осям  $x_1, x_2, x_3$  бесконечно длинный вдоль оси  $x_2$  пьезокерамический цилиндр,